

## طراحی دزیمتر قابل کاشت در بدن به کمک MOSFET

سارا مدرس رضوی، پیوتو ستابرسکی

Chalmers University of Technology  
Micropos Medical Center

### چکیده

استفاده از تکنیکهای رادیوتراپی جدید، که مقدار دزهای بالاتری را به یک حجم مشخصی از بدن وارد می‌کنند، نیاز به داشتن راه حل‌هایی برای اندازه گیری مقدار دز وارد شده به بدن را روز به روز افزایش می‌دهد. هدف از این مقاله طراحی یک دزیمتر قابل کاشت در درون بدن (Implantable) به کمک تکنولوژی *MOSFET* می‌باشد. این دزیمتر شامل دو بخش نرم افزار و سخت افزار بوده و کل سیستم توسط چشمde  $CO_2$  تا بیش از  $100\text{ Gy}$  تابش داده شده است. آزمایشات نشان می‌دهد که یک رابطه نسبتاً خطی بین تغییرات ولتاژ خروجی *MOSFET* با مقدار دز تابش شده وجود دارد.

**کلید واژه :** دزیمتر, *MOSFET*, قابل کاشت, تابش گاما, ولتاژ گیت

## ۱- مقدمه

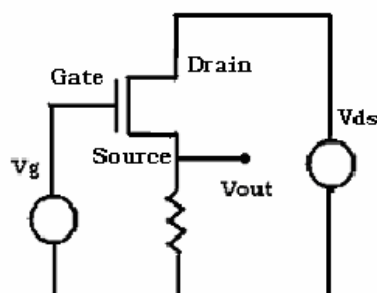
در تکنیک رادیوتراپی، دانستن میزان دز حقیقی وارد شده به عضو در حال پرتودهی بسیار قابل اهمیت است. بدین منظور نیاز به تکنولوژی وجود دارد که نه تنها عمل اصلی یعنی اندازه گیری دز را انجام دهد بلکه اندازه آن کوچک بوده و قابل انتقال در بدن نیز باشد. نیمه هادی ها از جمله موادی هستند که بر اثر تابش گاما تغییراتی بر روی مشخصات الکتریکی آنها صورت می گیرد. از جمله انواع نیمه هادی ها می توان به **MOSFET** ها اشاره کرد که در اندازه های بسیار کوچک در حد چند میلی متر مکعب قابل دسترس هستند. در این پروژه به طراحی یک مدار که توسط تغییرات ولتاژ گیت یک **MOSFET** می تواند میزان دز دریافت شده را اندازه گیری کند، می پردازیم. این مدار از یک بخش سخت افزار که در معرض منبع تابش قرار می گیرد و یک بخش نرم افزار LabView که به صورت همزمان میزان ولتاژ خروجی **MOSFET** را ثبت میکند، تشکیل شده است.

کل سیستم طراحی شده تحت اثر یک چشم  $CO^7$  در بیمارستان تخصصی سالگرنسکا در شهر گوتمبرگ سوئد مورد آزمایش قرار گرفته است. از روی نتایج آزمایشات نشان داده می شود که می توان از **MOSFET** به عنوان یک دزیمتر قابل استفاده در بدن استفاده کرد.

## ۲- تأثیر پرتو گاما بر روی **MOSFET**

پرتوهای گاما فوتونهای بالای انرژی با قابلیت نفوذ در درون مواد جامد تا عمق چند ده میلیمتر را بدون اینکه ماده تاثیری بر روی آن بگذارد دارند [۱]. این پرتو با برخورد به یک نیمه هادی، می تواند مشخصات الکتریکی آن را تغییر دهد. زمانی که یک **MOSFET** در معرض تابش گاما قرار می گیرد یک جفت الکترون - حفره در درون قسمت اکسید تولید می شود. الکترون به علت تحرک بالا در قسمت اکسید به سمت گیت جذب می شود ولی حفره بین حد فاصل اکسید و نیمه هادی باقی می ماند. این در صورتی است که گیت با ولتاژ مثبت در نظر گرفته شود.

به این صورت بر اثر تابش گاما میزان بار ثابت درون قسمت اکسید **MOSFET** به علت افزایش تمرکز الکترونها افزایش می یابد.

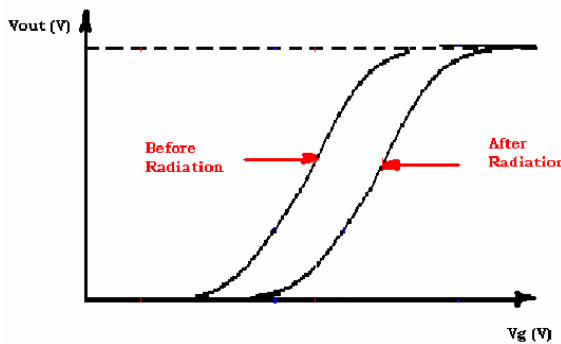




شکل ۱ : مدار MOSFET به عنوان دزیمتر

شکل ۱ چگونگی استفاده از MOSFET صرف نظر از نوع آن (p-channel / n-channel) به عنوان یک دزیمتر نمایش داده شده است.

با اعمال یک ولتاژ مثبت به  $V_{ds}$  و تغییر ولتاژ گیت  $V_g$  از ۰ تا  $V_{ds}$  می‌توان MOSFET را از حالت بسته به حالت هدایت تبدیل کرد. زمانی که کانال MOSFET باز می‌شود ولتاژ خروجی  $V_{out}$  شروع به افزایش می‌کند. با خواندن مقدار  $V_{out}$  زمانی که در حال افزایش است می‌توان ولتاژ آستانه MOSFET را مشخص کرد. بعد از تابش، این ولتاژ آستانه به  $V_g$  بالاتری منتقل می‌شود و در نتیجه MOSFET در ولتاژ گیت بالاتری به حالت هدایت می‌رسد.



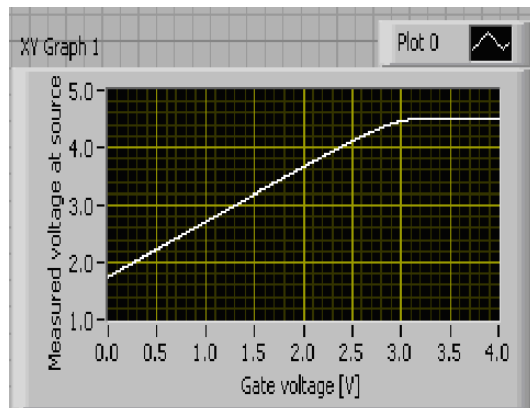
شکل ۲ : شیفت آستانه ولتاژ بعد از تابش

برای استفاده از MOSFET به عنوان دزیمتر باید مداری طراحی کرد که بتواند  $V_g$  را تغییر دهد و نیز قادر باشد که مقدار  $V_{out}$  را به ازای هر  $V_g$  تغییر یافته، اندازه گیری کند. شکل ۲ رفتار MOSFET را قبل و بعد از تابش نمایش می‌دهد. شیفت نمودار ولتاژ گیت MOSFET است که به اندازه گیری میزان دز جذب شده کمک می‌کند [۲].

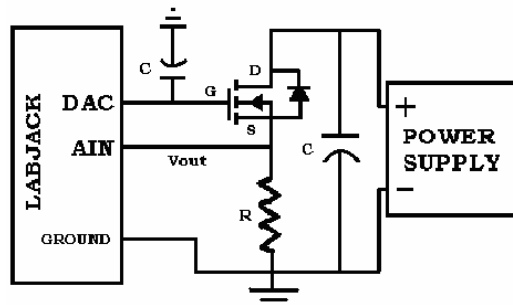
### ۳ - روش کار

برای استفاده از LabView نرم افزار تخصصی مورد استفاده به منظور ارتباط برقرار کردن با مدار مورد نظر است. LabJack UE9، یک دستگاه چند منظوره است و به عنوان کارت ولتاژ ورودی و خروجی مدار به LabView به کار برده شده است. از نرم افزار انتظار می‌رود که یک ولتاژ گیت متغیر برای مدار ایجاد کند و ولتاژ خروجی منحصر به هر ولتاژ گیت را اندازه گیری و ثبت کند و به صورت نمودار بر روی مانیتور نمایش دهد. شکل ۳ نحوه نمایش منحنی ولتاژ خروجی بر حسب ولتاژ گیت را بر روی نرم افزار نمایش می‌دهد.

شکل ۴ شمای کلی چگونگی اتصال بخش‌های مختلف سخت افزار مدار را نمایش می‌دهد. وجود خازنها در مدار به منظور کاهش ریپل ولتاژهای منابع تغذیه است.



شکل ۳: نمایش منحنی ولتاژ خروجی بر حسب ولتاژ گیت بر روی نرم افزار



شکل ۴: مدلسازی مدار MOSFET

به منظور داشتن دقت در اندازه گیری می‌باید همواره MOSFET را در تمام دوران استفاده به عنوان دزیمتر در دمای ثابت نگاه داشت [۳].

#### ۴ - نتایج

در این پروژه برای بالا بردن دقت آزمایش از چهار MOSFET به طور هم زمان استفاده می‌شود. MJE3405, STT4PF30L, P-channel STRIPFET II, Power MOSFET TTL موردنظر استفاده در این آزمایش از نوع است. این مدار شامل ۱۰ مشخصات پارامترهای مختلف اندازه گیری، شکل ۵، کل سیستم اندازه گیری در محل آزمایش و

جدول ۱ مشخصات پارامترهای مختلف اندازه گیری، شکل ۵، کل سیستم اندازه گیری در محل آزمایش و شکل ۶ مدار شامل MOSFET ها در زمان پرتو دهی نمایش می‌دهند.



شکل ۵: فاصله بین چشم کیالت و MOSFET ها یک متر در نظر گرفته شده است.

جدول ۱: مشخصات پارامترهای مختلف اندازه گیری

پارامتر	مقدار
منبع پرتو	Co <sub>60</sub>
فاصله مدار از منبع	100 cm
مقیاس اندازه میدان	10cm * 10cm
ولتاژ منبع تغذیه	4.7 V (Test 1) 4.85 V (Test 2)

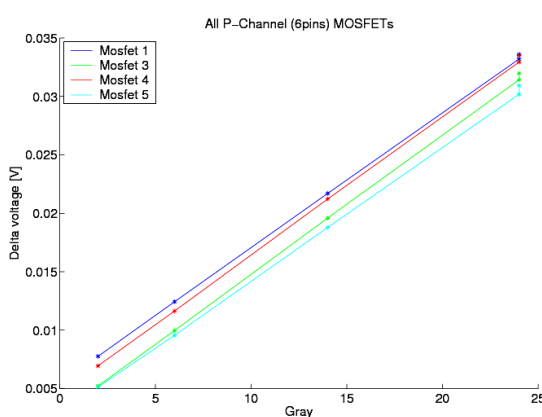


شکل ۶: مدار شامل MOSFET ها در زمان پرتو دهی

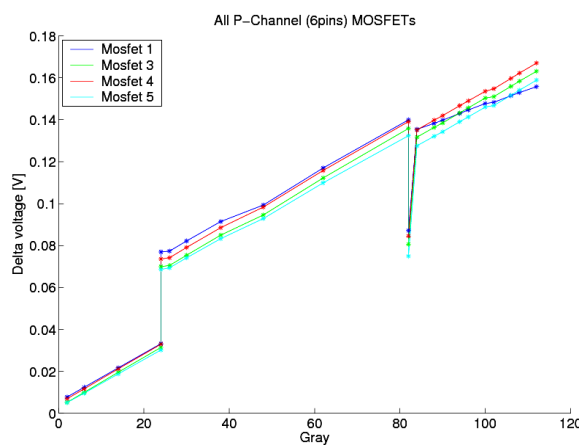
این مدار در سه روز مختلف پرتو دهی شده است. در نوبت اول MOSFET ها بین ۰ تا ۲۴ Gy پرتو دهی شده اند و در تابش‌های ۲ Gy, ۶ Gy, ۱۴ Gy و ۲۴ Gy ولتاژ خروجی آنها توسط نرم افزار محاسبه گردیده است. شکل ۷ نمایش اختلاف ولتاژ خروجی را بر حسب میزان دز تابش شده نمایش می دهد. محور عمودی

بر حسب ولتاژ و محور عمودی بر حسب Gy می باشد. همان طور که ملاحظه می شود برای هر چهار MOSFET آزمایش شده این رابطه با تقریب بسیار خوبی خطی است.

در نوبت پرتو دهی دوم، MOSFET هایی را که تا کنون Gy ۲۴ پرتو خورده اند، تا Gy ۸۲ پرتو داده می شوند و در نوبت سوم پرتو دهی تا Gy ۱۱۲ افزایش می یابد. شکل ۸ نمایش رفتار MOSFET ها در کل بازه پرتو دهی (سه نوبت) را نشان می دهد. از این شکل می توان به خطی بودن تغییرات ولتاژ خروجی نسبت به دز تابیده شده پی برد.



شکل ۷: رابطه خطی اختلاف ولتاژ خروجی بر حسب میزان دز تابش شده به چهار MOSFET



شکل ۸: نمایش رفتار MOSFET ها در کل بازه پرتو دهی

تفاوت اختلاف ولتاژ در مرز بین نوبت اول و دوم پرتو دهی به علت تفاوت در ولتاژ منبع تغذیه مدار می باشد. به این دلیل می توان نتیجه گرفت که ولتاژ منبع تغذیه باید در هر دوره تابش بر روی میزان ثابتی تنظیم شود.

با مطالعه شکل ۸ می توان بیان کرد که رابطه خطی در  $2 \text{ Gy}$  اولیه پرتودهی در هر نوبت دیده نمی شود و در نتیجه برای دست یافتن به رابطه خطی به منظور اندازه گیری دز می باید MOSFET ها را تا  $2 \text{ Gy}$  پیش تابش کرد.

## ۵- بحث و نتیجه گیری

یک رابطه خطی بین اختلاف ولتاژ خروجی MOSFET و میزان دز تابیده شده به آن وجود دارد. در نتیجه MOSFET می تواند یک راه حل مناسب برای ساختن دزیمتر قابل کاشت در بدن باشد به شرط آن که  $2 \text{ Gy}$  پیش تابش قبل از هر دوره پرتودهی در نظر گرفته شود و ولتاژ منع تغذیه در تمام مراحل پرتودهی ثابت نگاه داشته شود. نتایج نشان می دهد که رفتار خطی MOSFET تا بیش از  $100 \text{ Gy}$  نیز ادامه خواهد داشت. MOSFET، یک نیمه هادی بسیار کوچک است، که به راحتی می تواند توسط کاتیتر وارد بدن شده و از آنجا مقدار دز تابیده شده در یک دوره رادیوتراپی را اندازه گیری کند.

## سپاسگزاری

نویسنده کمال تشکر و قدردانی را از شرکت Micropos Medical Center به علت دادن امکانات برای انجام این پژوهه و از Stefan Horrdin و Roman Iostin برای همکاری و راهنماییهای سودمندشان دارد.

## مراجع

- [1] Hyper Physics, Department of Physics and Astronomy of Georgia State University <http://hyperphysics.phyastr.gsu.edu/hbase/hframe.html>
- [2] A Holmes-Siedle, L. Adams, "Handbook of radiation effects" Oxford university press, 2002.
- [3] T. Cheung, M. J. Buston, P. K. N. Yu, "Effects of Temperature variation on MOSFET dosimetry", IEEE paper, June 2004.
- [4] Scarantino}C. W. Scarantino, D. M. Ruslander, C. J. Rini, G. G. Mann, H. T. Nagle, R. D. Black, "An implantable radiation dosimeter for external beam radiation therapy" Med. Phys., sep 2004.
- [5] C. W. Scarantino, D. M. Ruslander, C. J. Rini, G. G. Mann, H. T. Nagle, R. D. Black, "An Implantable Radiation Dosimeter for use in External Beam Radiation Therapy", Medical Physics, Vol. 31, PP. 2658-2671, 2004.
- [6] C. W. Scarantino, C. J. Rini, M. Aquino, T. B. Carrea, R. D. Ornitz, M. S. Anscher, R. D. Black, "The Initial Clinical results of an In Vivo Dosimeter during External Beam Radaition Therapy", Int. J. of Radiation Oncology Biol. Phys. , Vol. 62, PP 606-613, 2005